

# تأثیر امواج تحریکی شبیه ذوزنقه‌ای بر جریان کلسیمی نوع L غشا جسم سلوی نورون F<sub>1</sub> حلزون باغی (Helix aspersa) در روش ثبت داخل سلوی (Voltage and Current Clamp)

\*Ph.D., \*\*Ph.D., مهیار جان احمدی، مهرداد روغنی

دانشگاه علوم پزشکی ایران، مرکز علوم پایه پزشکی، گروه فیزیولوژی

\* دانشگاه علوم پزشکی شهید بهشتی، دانشکده پزشکی، گروه فیزیولوژی

\*\* دانشگاه شاهد، دانشکده پزشکی، گروه فیزیولوژی

آدرس مکاتبه: تهران، صندوق پستی ۱۴۱۵۵-۶۱۸۳، دانشگاه علوم پزشکی ایران، گروه فیزیولوژی

## چکیده

**هدف:** جریانهای یونی دارای رفتار غیرخطی و تحریکات الکتریکی است که می‌تواند در کیتیک فعال یا غیر فعال شدن آنها تأثیر بگذارد. سرعت مراحل دپلاریزه کننده و هیبرپلاریزه کننده امواج تحریک کننده می‌تواند با تأثیر بر ویژگیهای الکترو فیزیولوژیکی جریانهای یونی نحوه فعالیت نورونها را تغییر دهد. در این مطالعه اثر پتانسیلهای فرماتی شبیه ذوزنقه‌ای بر ویژگیهای بیوفیزیکی کانال کلسیمی با آستانه بالا نوع L جسم سلوی نورون F<sub>1</sub> در حلزون باغی مورد مطالعه قرار گرفت.

**مواد و روشها:** نورون F<sub>1</sub> با استفاده از دو شکل پتانسیل فرماتی راست گوش و شبیه ذوزنقه‌ای از پتانسیلهای نگهدارنده -۹۰ و -۴۰ میلی ولت تا +۹۰ میلی ولت در رینگر فاقد سدیم و پتانسیم دپلاریزه شدند. سپس نورونهای F<sub>1</sub> در حضور نیفذیبن، آنتاگونیست اختصاصی و انتخابی کانال کلسیمی با آستانه بالا نوع L، با استفاده از دو شکل پتانسیلهای فرماتی کلتب شدند.

**یافته‌ها:** در رینگر فاقد سدیم و پتانسیم پتانسیلهای فرماتی شبیه ذوزنقه‌ای در مقایسه با پتانسیلهای فرماتی راست گوش جریان کلسیمی را ۳۶ درصد کاهش داده و ولتاژ آستانه را به طرف پتانسیلهای مشبتش سوق دادند. در حضور نیفذیبن با آنکه پتانسیلهای فرماتی شبیه ذوزنقه‌ای در مقایسه با پتانسیلهای فرماتی راست گوش موجب مشبتش دن ولتاژ آستانه شدند ولی در میزان حداقل جریان تغییری به وجود نیاورند.

**نتیجه‌گیری:** نتایج حاصل از این تحقیق نشان می‌دهد که هیبرپلاریزاسیون آهسته مرحله پایین رو کلتب ولتاژ با تأثیر بر کیتیک کانالهای یونی، موجب تغییر رفتار آنهاست گردد. شاید بتوان با استفاده از این شکل امواج و یا اشکال دیگر به طور الکترو فیزیولوژیک و بدون استفاده از مهار کننده‌های شیمیایی موجب فعل و یا غیرفعال شدن انتخابی کانالهای یونی شد.

**کل واژگان:** پتانسیل فرماتی شبیه ذوزنقه‌ای، جریان کلسیمی نوع L، نورون F<sub>1</sub>, Voltage Clamp

**مقدمه**

فعالیت الکتریکی آن نام بود (۲۶). قبل از شروع هر آزمایش با قرار دادن حلزونهای آب، شرایط فیزیولوژیکی یکسانی برای فعال کردن حلزونهای مورد استفاده فراهم می شد. برداشتن بافت پیوندی و جدا کردن نورون  $F_1$  بوسیله پنسهای بسیار ظرفی و بدون استفاده از آنزیم پروتولیتیک انجام می شد. پس از جدا کردن نورون، آنرا در داخل محفظه نگهدارنده بافت با حجم ۱/۵ میلی لیتر که داخل آن با یک الاستومر سیلیکون (Sylgard) پوشیده شده بود فرار می دادیم. تمام آزمایشها در حرارت ۲۰-۲۳ سانتیگراد و در داخل قفس Faraday ثبت می شد.

ثبت داخل سلوالی برای اندازه گیری خواص غیر فعال (پتانسیل استراحت غشا، مقاومت و ظرفیت) و فعال غشا سلوالهای عصبی و جریانهای یونی به کار می رود. در این کار تحقیقاتی ثبت داخل سلوالی با استفاده از دو میکروالکترود انجام شد. میکروالکترودها از لوله های موئینه برسو سیلیکات دارای فیلامن داخلی (Clark Electromedical Instruments, UK) تهیه می شدند. میکروالکترودهای تزریق کننده جریان و ثبت کننده ولتاژ در داخل نگهدارندهای (Perspex) مجزایی که مستقیماً به پری آمپلی فایر (Headstage) متصل شده بسودند قرار گرفته و در داخل هر میکروالکترود شبیه ای سیم نفره ای با قطر ۸/۰ میلی متر که بخشی از آن توسط روكش AgCl پوشیده شده بود (Ag/AgCl) قرار داده می شد. متوسط مقاومت نوک میکروالکترودها ( $\text{Mean} \pm \text{SD}$ ) ۶/۳  $\pm$  ۰/۶۳ مگا اهم بود. این میکروالکترودها با محلول کلرید پتاسیم سه مولار پر شده و به آمپلی فایر (Axoclamp2B Axon instruments, Inc Burlingame, USA) متصل می شدند. الکترود مرجع (پل آگاری) حاوی کلرید پتاسیم سه مولار و آگار حل شده در رینگر استاندارد، به منظور کاستن مقاومت سری در داخل محفظه نگه دارنده بافت، نزدیک به گانگلیون قرار داده می شد. جایگزینی محلولها با یکدیگر در دقیقه محفظه، از طریق یک پمپ پروفیوژن به سرعت ۴ میلی لیتر در تأثیر انجام می شد. پاسخ غشا سلول به صورت تغییرات ولتاژ با جریان با استفاده از یک مبدل آنالوگ به دیجیتال و دیجیتال به آنالوگ (LabMaster, Scientific solution) به صورت داده های رقی در آمده و در یک کامپیوتر IBM Compatible Pentium ذخیره می گردید. تمیه دات نرم افزاری جهت ثبت و آنالیز بخشی از داده ها توسط دکتر محمد جعفر پور فیروزآبادی با استفاده از برنامه Matlab نوشته شده بود.

**Current Clamp \***

Current - Clamp روشی است که در آن با تزریق منظم جریانهای راست گوشه دیلاریزه کننده یا هیبریلاریزه کننده، می توان بدون آنکه پتانسیل غشا کلمب شود تغییرات آن را مشاهده کرده به عبارت دیگر در این روش وسیله ای برای برانگبختن پاسخهای ولتاژی

1. Low-Voltage Activated
2. High-Voltage Activated

در سلوالهای تحریک پذیر جریان کلیمی وابسته به ولتاژ نقش مهمی در اعمال متفاوت سلوالی از جمله ترشح ماده میانجی، انتقباض، تحریک پذیری الکتریکی، رشد و تمايز سلوالی دارد (۶-۱).

در اکثر سلوالها بیش از یک نوع جریان کلیمی وجود دارد که هر یک ویژگی فارماکولوژیک و بیوفیزیکی خاص خود را دارد، به عنوان مثال در سلوالهای عصبی (۷)، سلوالهای ترشحی (۸) و سلوالهای عضلانی (۹) مهره داران، دو نوع جریان کلیمی با آستانه پایین<sup>۱</sup> و با آستانه بالا<sup>۲</sup> وجود دارد. مطالعات الکترو فیزیولوژیک و فارماکولوژیک شان می دهد که جریان کلیمی با آستانه بالا در نورونهای محیطی دارای حداقل دو زیر گروه به نام N و S است. جریان کلیمی نوع S به آگونیستها و آنتاگونیستهای مشتقات Dihydropyridine حساس است در حالی که جریان نوع N توسط V-conotoxin GVIA مهار می شود (۱۰، ۱۱، ۱۲). در نورونهای سیستم اعصاب مرکزی علاوه بر جریانهای کلیمی نوع N و L جریانهای کلیمی نوع P و R نیز وجود دارد (۱۳، ۱۴)، بررسی ویژگیهای کبیتیکی کانالهای کلیمی نقش هر یک از آنها را در پتانسیلهای غشایی، مدت، دامنه و الگوی ارسال پتانسیل عمل (Bursting or Beating) مشخص کرده است (۱۵-۲۱). از آنجایی که اشکال متفاوت پتانسیلهای فرمانی و سرعت دیلاریزه و یا هیبریلاریزه کردن پتانسیل غشا می تواند کیتیک فعال و یا غیر فعال شدن کانالهای کلیمی را تحت تأثیر قرار دهد لذا مقایسه اثر اشکال متفاوت پتانسیلهای فرمانی می تواند اطلاعات بیشتری در مورد رفتار کانالها در پتانسیلهای مختلف غشایی در اختیار ما قرار دهد. به عنوان مثال پتانسیلهای فرمانی راست گوشه می تواند با هیبریلاریزاسیون آهسته غشا تأثیر متفاوتی بر ویژگیهای پتانسیل عمل داشته و تحریک پذیری سلوال را تغییر دهد (۲۲، ۲۳، ۲۴، ۲۵). در مطالعه حاضر، تأثیر شکل امواج شبه ذوزنقه ای بر ویژگیهای الکترو فیزیولوژیک جریان کلیمی نوع S اثنا جسم سلوالی نورون  $F_1$  حلزون باعی گونه *Helix aspersa* در مقایسه با امواج راست گوشه بررسی شده است.

**مواد و روشها**

این مطالعه روی حلزونهای باعی (Iranian garden snail) گونه Helix aspersa از خانواده ترمستان با وزن ۱/۷-۴/۶ گرم که از منطقه بالس در فصل بهار جمع آوری شده بودند انجام شد. حلزونها بلافاصله به آزمایشگاه گروه فیزیولوژی منتقل و شرایطی مشابه محل زیست آنها فراهم گردید. به علاوه حیوانات محدودیتی در دسترسی به غذا (برگ کلم) و آب نداشتند. کلیه آزمایشها بر روی نورون  $F_1$  در گانگلیون پاریتال راست الجام شد. از چندین شاخص جهت شناسایی نورونهای  $F_1$  استفاده شد که از آن جمله می توان از محل و اندازه نورون در سطح گانگلیون، وضعیت قرار گرفتن آن نسبت به اعصاب و

نتایج حاصل از کلمپ ولتاژ و ثابت زمانی فعال شدن و غیر فعال شدن جریان کلیمی به کمک نرم افزار Matlab مورد بررسی قرار گرفت و از برنامه Excel و Spss و Instat برای محاسبه میانگین و انحراف معیار داده‌ها و رسم منحنی‌های استفاده شد، برنامه آماری مورد استفاده t-test Paired بود و سطح معنی‌دار (P) کمتر از ۰/۰۵ در نظر گرفته شد. در داده‌های حاصل از ثبت Voltage-Clamp، برای استخراج جریان خالص کلیمی، جریان ظرفیتی تا آنجاکه مسکن بود با استفاده از Capacitance Neutralization کاهش داده می‌شد.

در این کار تحقیقاتی برای پردازش داده‌ها، از معادلات نمایی زیر استفاده شد:

$$I = A_0 + A_1 e^{\frac{-t}{\tau_1}} + A_2 e^{\frac{-t}{\tau_2}} + \dots$$

که در این معادله  $A_0$ ،  $A_1$  و  $A_2$  دامنه جریان در زمان صفر و  $\tau_1$  زمان و  $\tau_2$  ثابت زمانی است، داده‌ها به صورت Mean  $\pm$  S.E.M ارائه گردیده‌است.

### یافته‌ها

\* ثبت پتانسیل‌های عمل کلیمی در نورونهای F1 ثبت پتانسیل‌های عمل کلیمی<sup>۱</sup> در نورون F1، پس از حذف جریانهای واپسیه به ولتاژ رو به داخل سدیمی و رو به خارج پتانسیل انجام شد. تحت این شرایط، زمانکه پتانسیل استراحت غشا به طور متوسط  $35 \pm 1/4$  میلی‌ولت بود، پتانسیل‌های عمل کلیمی خود به خودی ظاهر می‌شدند (شکل ۱A). وجود کفه در پتانسیل‌های عمل کلیمی آنها را از پتانسیل عمل خود به خودی سدیمی ثبت شده در رینگر استاندارد متمایز می‌کرد. از آنجایی که متوسط آستانه شلیک (Firing)  $22/14 \pm 1/28$  میلی‌ولت بود، می‌توان آنها را قله‌های کلیمی با آستانه بالا (High threshold Ca<sup>2+</sup> spikes) داند.

### \* ویژگی‌های فارماکولوژیکی پتانسیل‌های عمل کلیمی نورون F1

پتانسیل‌های عمل کلیمی نورون F1 تنها پس از مهار جریانهای سدیمی و پتانسیل ظاهر می‌شدن، افزودن مهارکننده اختصاصی جریان کلیمی با آستانه بالا نوع لـ نیکدین (۱ میکرومolar)، به محلول فاقد سدیم و پتانسیم (Na<sup>+</sup>-K<sup>+</sup> + free) موجب کاهش دامنه (P<0.01) و زمان تأخیر آستانه پتانسیل عمل کلیمی (P<0.05) و افزایش آستانه پتانسیل عمل کلیمی (P<0.05) و حذف کفه شد (جدول ۱)، اما توانست آن را به طور کامل از بین برد و فعالیت خود به خودی سلول ادامه داشت (شکل ۱B).

غشا قراهم می‌شود. در این مطالعه، پتانسیل عمل خود به خودی سلول در رینگر استاندارد قبل و بعد از حذف جریانهای سدیمی و پتانسیمی ثبت شد و ویژگیهای آن مورد بررسی قرار گرفت. مدت پتانسیل عمل در نصف حداکثر دامنه پتانسیل عمل (Half-maximal amplitude) از سطح پتانسیل استراحت غشا تا قله پتانسیل عمل محاسبه شدند.

### Voltage Clamp \*

در روش Voltage - Clamp جریان به عنوان یک محرک به کار برده می‌شود و تغییرات پتانسیل غشا اندازه گیری می‌گردد. در این مطالعه با استفاده از ولتاژ کلمپ دو الکترودی (Standard two Electrodes Voltage-Clamp) بیوفیزیکی و الکترو فیزیولوژیکی جریان کلیمی با آستانه بالا نوع سلولی مورد بررسی قرار گرفت. در روش اول برای کلمپ ولتاژ غشا جسم سلولی نورون F1، پتانسیلهای فرمانی دپلاریزه کننده راست گروشه با مرحله بالارو و پایین رو مربعی و کفه ۳۹۰ میلی ثانیه‌ای (Rectangular Command potential) و در روش دوم برای کلمپ ولتاژ، پتانسیلهای فرمانی شبیه ذوزنقه‌ای با مرحله بالارو مربعی، کفه ۳۹۰ میلی ثانیه‌ای و مرحله پایین رو نمایی (Exponential trailing phase) به کار گرفته شد. در هر دو روش پتانسیل غشا با استفاده از مراحل ۱۰ میلی ولش به مدت ۳۹۰ میلی ثانیه از پتانسیلهای نگه دارنده ۴۰ و -۹۰ میلی ولت تا پتانسیل ۴۹۰ میلی ولت دپلاریزه می‌شد. همراه با تغییر ولتاژ غشا، مهار کننده‌های جریانهای پتانسیمی و کلیمی نیز به محلول خارج سلولی افزوده می‌شد. محلولهای لازم برای آزمایش جریانهای کلیمی ترکیب رینگر استاندارد خارج سلولی بقرار زیر بود:

MgCl<sub>2</sub> (۱۰ میلی مolar)، NaCl (۸۰ میلی مolar)، CaCl<sub>2</sub> (۱ میلی مolar)، KCl (۴ میلی مolar)، گلوکز (۱۰ میلی مolar) و HEPES (۵ میلی مolar) (۲۷).

در محلول فاقد سدیم-پتانسیم، TEA<sup>۲</sup> (۸۴ میلی مolar) چایگزین پتانسیم و سدیم خارج سلولی می‌شد همچنین جریانهای رو به خارج پتانسیمی، از طریق تریپتیپتوفورز TEA آن به داخل جسم سلولی نورون F1 (۵/۰ مolar)، با جریان ۵+ نانوآمپر به مدت ۱۵ دقیقه، و افزودن ۴-AP (۵ میلی مolar)، به محلول پرفیوژن نیز مهار می‌گردد. برای Nifedipine مهار جریان کلیمی فعال شده در ولتاژهای بالا (HVA) از (۱ میکرومolar) محلول در اتانول ۳/۰ درصد به صورت خارج سلولی استفاده شد. اسمولاریته محلولهای مورد استفاده توسط اسموتر (Osmo mat 030 Gonotec Co.) اندازه گیری شد. اسمولاریته رینگر استاندارد ۲۰۶/۲۵ ± ۱/۷۰ و اسمولاریته رینگر فاقد سدیم و پتانسیم ۱۹۶/۲۳ ± ۱/۴۵ میلی اسمول بر کیلوگرم آب بود. تنظیم pH محلولهای مورد استفاده در حد ۷/۸ از طریق Trizma base و Trizma hydrochloride انجام می‌شد. مواد شیمیایی مورد نیاز از کارخانه سیگما و آلدربیچ تهیه شده بود.

### \* روش‌های تجزیه و تحلیل داده‌ها

1. 4-(2-Hydroxyethyl)-1-piperazineethanesulphonic acid
2. Tetraethylammonium chloride
3. 4-Aminopyridine
4. Calcium spikes



جدول ۱: بررسی ویژگیهای پتانسیل عمل خودبیخودی نورون F1 در رینکر استاندارد و رینکر

فاقد سدیم و پتانسیم قبل و بعد از اضافه کردن نیفیدیپین

زمان تاخیر عمل (ms)	آستانه پتانسیل عمل (mV)	فرکانس پتانسیل عمل (Hz)	مدت پتانسیل عمل (ms)	دامنه پتانسیل عمل (mV)	ویژگیهای پتانسیل عمل محلول
۴۲/۶۶±۰/۴۹	-۳۳/۸۵±۰/۱۲	۷/۱۴±۰/۷	۶/۰۷±۰/۸۹	۶۱/۰۳±۲/۲۸	رینکر استاندارد
۴۷/۷±۰/۸۹ <sup>**</sup>	-۳۱/۱۳±۱/۱۸	۵/۱±۰/۱ <sup>**</sup>	۲۲۹/۶±۱۲/۰ <sup>**</sup>	۷۵/۵±۳/۶۴ <sup>**</sup>	رینکر فاقد سدیم و پتانسیم
۵۳/۲±۱۵/۲۲ <sup>**</sup>	-۴۷±۱/۸ <sup>*</sup>	۱/۷±۰/۷ <sup>**</sup>	۱۸۷/۸±۲/۴۷ <sup>***</sup>	۵۱/۷±۲/۰ <sup>**</sup>	رینکر فاقد سدیم و پتانسیم + نیفیدیپین

### روش الکتروفیزیولوژیک

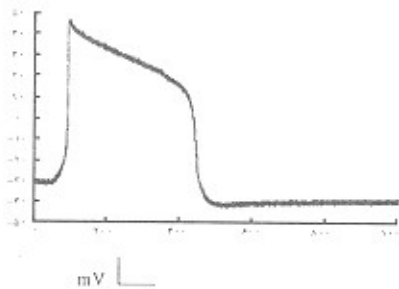
در رینکر فاقد سدیم و پتانسیم برای تشکیک جریان کلیمی با آستانه بالا از نوع L از جریان کلیمی با آستانه پایین از پتانسیل نگهدارنده ۴۰-۴۵ میلی ولت استفاده شد. در پتانسیلهای فرمانی دپلاریزه کننده ۴۰-۴۵ تا ۹۰+۹۰ میلی ولت، حداکثر جریان، ولتاژ حداکثر جریان و ولتاژ آستانه به ترتیب ۹۶±۰/۹۶-۳/۵۴±۰/۳-۳/۵۴±۰/۳-۳/۲-۵۳±۱/۶۶ و ۷/۱۷±۱/۰۲ میلی ولت و پتانسیل معکوس آن در حدود ۴۰ میلی ولت بود. شکل A و ۲B به ترتیب جریان رو به داخل کلیمی را در ولتاژهای مختلف از پتانسیل نگهدارنده ۴۰-۴۵ میلی ولت و ارتباط ولتاژ - جریان را در این پتانسیل نگهدارنده نشان می دهد (n=8).

### روش فارماکولوژیک

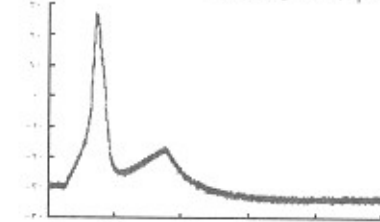
در این روش تأثیر آنتاگونیست اختصاصی و انتخابی جریان کلیمی با آستانه بالا نوع L مورد بررسی قرار گرفت. در پتانسیل نگهدارنده ۹۰-۹۵ میلی ولت، نیفیدیپین (۱ میکرومولا)، آنتاگونیست اختصاصی کانالهای کلیمی نوع L درصد جریان کلیمی را مهار کرد و در پتانسیل نگهدارنده ۴۰-۴۵ میلی ولت، ۵ درصد جریان حداکثر بوسیله نیفیدیپین مهار شد. در پتانسیل نگهدارنده ۹۰-۹۵ میلی ولت متوسط حداکثر جریان، ولتاژ حداکثر جریان و آستانه فعال شدن جریان مقاوم به نیفیدیپین به ترتیب ۰/۳±۰/۱-۷/۸۸±۰/۱-۷/۳-۷/۲ و ۰/۵±۰/۳-۲/۸-۹۴±۰/۲-۲/۸ میلی ولت بود (شکل ۲A) (n=7). در پتانسیل نگهدارنده ۴۰-۴۵ میلی ولت متوسط حداکثر جریان، ولتاژ حداکثر جریان و آستانه فعال شدن این جریان به ترتیب ۰/۴۰±۰/۰-۷/۷۷±۰/۰-۱-۷/۷۸±۰/۱-۷/۶۶ میلی ولت بود و پتانسیل معکوس آن در حدود ۰/۳۵-۰/۹۵ میلی ولت بود (شکل ۲B) (n=7).

ثابت زمانی فعال شدن و غیر فعال شدن جریان کلیمی در حضور ۱۰ میلی مولار کلیم خارج سلولی، ثابت زمانی فعال شدن و افت جریان کلیمی در پتانسیل نگهدارنده ۴۰-۴۵ میلی ولت با استفاده از بیش از یک جزء نسبی (Exponential component) به دست آمد ( $n > 1$ ), به عبارت دیگر فعال و غیر فعال شدن جریان کلیمی مستلزم بیش از یک ثابت زمانی بود. ثابت زمانی فعال شدن جریان کلیمی با آستانه بالای نوع L در ۲۱-۲۲ میلی ولت،  $۰/۳۳\pm۰/۰/۶\pm۰/۳$

A

 $\text{Na}^+-\text{K}^+$  free solution  
+ TEA ( 84 mM ) +4 - AP ( 5mM )

B

 $\text{Na}^+-\text{K}^+$  free solution  
+ TEA ( 84 mM ) +4 - AP ( 5mM )  
+ nifedipine (1µM)

شکل ۱: فعالیت خود به خودی نورون F1 در رینکر فاقد سدیم و پتانسیم قبل (A) و بعد از اضافه کردن نیفیدیپین به مایع خارج سلولی (B) ادامه می یابد.

بررسی ویژگیهای الکتروفیزیولوژیک جریان کلیمی با آستانه بالا نوع L در جسم سلولی نورون F1 با استفاده از روش Two-electrode voltage clamp

### \* الف - روش متداول استفاده از پتانسیلهای فرمانی دپلاریزه کننده راست گوش

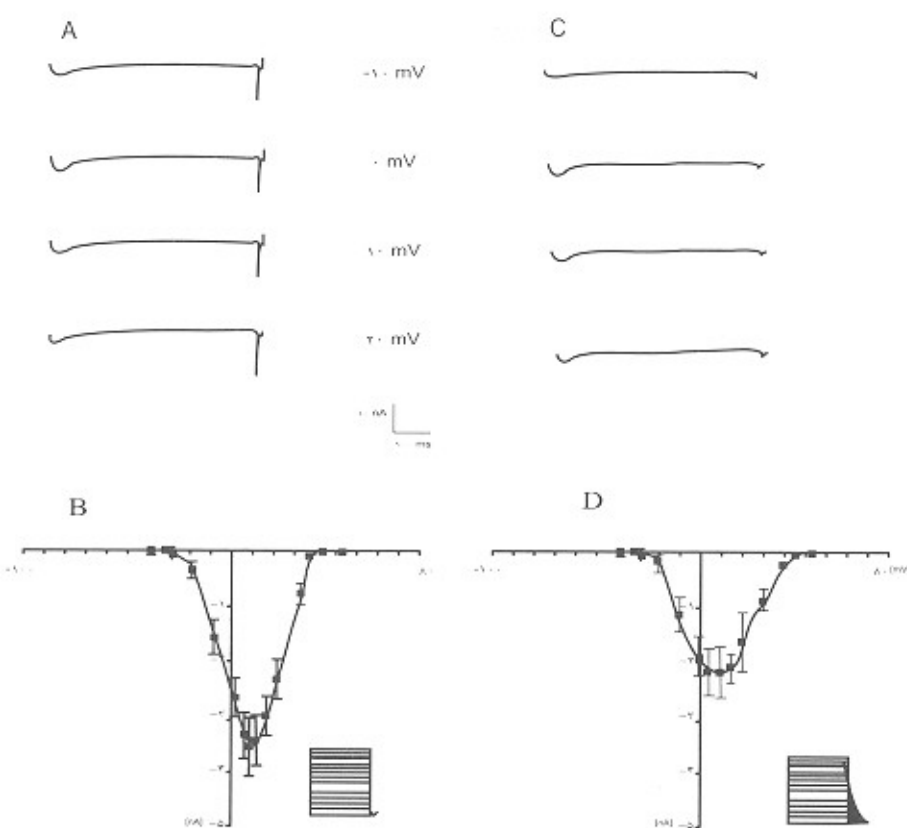
- در رینکر فاقد سدیم و پتانسیم، پس از حذف جریانهای رو به خارج پتانسیمی و جریان رو به داخل سدیمی ۶۵ درصد جریان رو به داخل باقی ماند که احتمالاً توسط یون کلسیم حمل می شد. به منظور شناسایی انواع کانالهای کلیمی در جسم سلولی نورون F1 از دو روش استفاده شد:

فارماکولوژیک استفاده شد:

### روش الکتروفیزیولوژیک

در این روش اثر پتانسیل نگهدارنده  $-40$  میلی ولت بر جریان کلیمی مورد بررسی قرار گرفت. از پتانسیل نگهدارنده  $-40$  میلی ولت آستانه به ترتیب  $+90$  میلی ولت، حداکثر جریان، ولتاژ حداکثر جریان و ولتاژ آستانه به ترتیب  $41 \pm 0.29$  و  $-22 \pm 0.29$  نانوآمپر،  $4 / 41 \pm 2 / 69$  و  $4 / 28 \pm 2 / 53$  میلی ولت و پتانسیل معکوس آن در حدود  $+50$  میلی ولت بود (شکل ۲C و ۲D).

میلی ثانیه و در  $+10$  میلی ولت،  $1 / 1 \pm 0.49$  میلی ثانیه بود، چنانکه در پتانسیلهای مثبت تر سرعت فعال شدن جریان کلیمی بیشتر می شد. افت جریان کلیمی به کاهش این جریان در طول دپلاریزاسیون غشا پوسیله پتانسیلهای فرماتی اطلاق می شود. این پدیده را می توان به صورت کاهش جریان در طول دپلاریزاسیون یا کاهش حداکثر جریان کلیمی در طول مرحله بعدی دپلاریزاسیون دید. از طرف دیگر ثابت زمانی افت جریان کلیمی با آستانه بالای نوع آ در  $+10$  میلی ولت،  $41 / 1 \pm 15 / 3$  میلی ثانیه و در صفر میلی ولت،  $5 / 40 \pm 19 / 5$  میلی ثانیه بود، به عبارت دیگر سرعت غیر فعال شدن جریان کلیمی بسیار



شکل ۲. بیت جریانهای کل رو به داخل کلیمی (۲) جسم سلولی نورون F1 در رینگر فاقد سدیم و پتانسیم قبل (۲A) و ارتباط جریان آنها (۲B) در رینگر فاقد سدیم پتانسیم، بیت کل جریانهای رو به داخل کلیمی (۲) جسم سلولی نورون P1 در پتانسیلهای فرماتی ذوزنقه ای مختلف از پتانسیل نگهدارنده  $-40$  میلی ولت (۲C) و ارتباط جریان - ولتاژ آنها (۲D) در رینگر فاقد سدیم - پتانسیم

### روش فارماکولوژیک

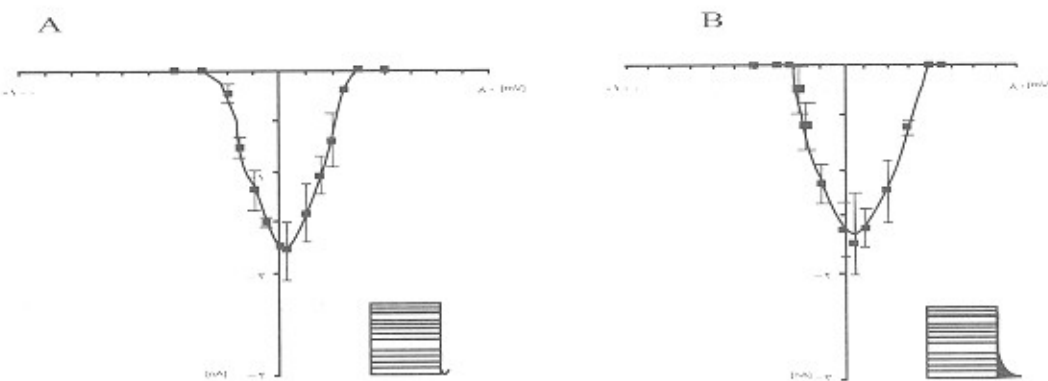
- در حضور نیوفلپین از پتانسیل نگهدارنده  $-90$  میلی ولت متوسط حداکثر جریان، ولتاژ حداکثر جریان و آستانه فعال شدن جریان مقاوم به نیوفلپین به ترتیب  $78 \pm 0.78$  و  $-1 / 61 \pm 0.61$  نانوآمپر،  $4 / 64 \pm 3 / 65$  و  $4 / 67 \pm 3 / 67$  میلی ولت بود و پتانسیل معکوس آن در حدود  $+45$  میلی ولت بود (شکل ۳B).

از پتانسیل نگهدارنده  $-40$  میلی ولت متوسط حداکثر جریان، ولتاژ حداکثر جریان و آستانه فعال شدن این جریان به ترتیب  $45 \pm 0.45$  و  $-1 / 36 \pm 0.36$  نانوآمپر،  $5 / 94 \pm 2 / 50$  و  $22 / 0.5 \pm 2 / 39$  میلی ولت بود و پتانسیل معکوس آن در حدود  $+45$  میلی ولت بود (شکل ۴B).

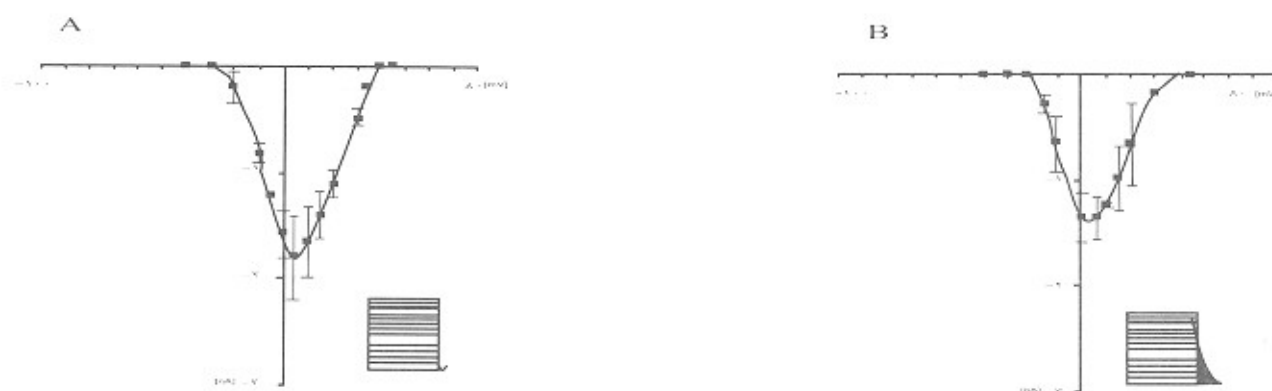
کمتر از سرعت فعال شدن آن بود. در پتانسیلهای که نسبت بیان جریان کلیمی به اغتشاش (Signal/Noise) بسیار کم بود (منفی تر از  $-10$  میلی ولت و مثبت تر از  $20$  میلی ولت) عمل برآش انجام شدنی نبود.

### \* ب - روش جدید استفاده از پتانسیلهای فرماتی دپلاریزه کننده شبه ذوزنقه ای

در رینگر فاقد سدیم و پتانسیم به منظور شناسایی انواع کانالهای کلیمی در جسم سلولی نورون F1 با استفاده از پتانسیلهای فرماتی شبه ذوزنقه ای همچون روش متداول، از روش الکترو فیزیولوژیک و



شکل ۳: ارتباط جریان - ولتاژ جریان کلسیم مقاوم به بینکبین جسم سلولی تورون  $\text{F}_1$  در پتانسیلهای فرمانی راست گوشه مختلف از پتانسیل نگهدارنده  $-90$  میلیولت (A) و ارتباط جریان - ولتاژ این در پتانسیلهای فرمانی نیمه ذوزنقه‌ای مختلف از پتانسیل نگهدارنده  $-90$  میلیولت (B) پس از افزودن بینکبین (۱ میکرومولار) به رینکر فاقد سدیم پتانسیم



شکل ۴: ارتباط جریان - ولتاژ جریان کلسیم مقاوم به بینکبین جسم سلولی نورون  $\text{F}_1$  در پتانسیلهای فرمانی راست گوشه مختلف از پتانسیل نگهدارنده  $-40$  میلیولت (A) و ارتباط جریان - ولتاژ این جریان در پتانسیلهای فرمانی نیمه ذوزنقه‌ای مختلف از پتانسیل نگهدارنده  $-20$  میلیولت (B) پس از افزودن بینکبین (۱ میکرومولار) به رینکر فاقد سدیم پتانسیم

جدول ۲: مقایسه ویژگیهای الکتروفیزیولوژیک جریانهای رو و به داخل جسم سلولی نورون  $\text{F}_1$  در پتانسیلهای نگهدارنده  $-90$  و  $-40$  میلیولت در رینکر مستاندار و رینکر فاقد سدیم و پتانسیم قبل و بعد از اضافه کردن بینکبین با استفاده از پتانسیلهای فرمانی نیمه ذوزنقه‌ای و مستطیلی

پتانسیل نگهدارنده (mV)	استانداره جریان (mV)
رینکر فاقد سدیم - پتانسیم + بینکبین	استانداره جریان
$-78/14 \pm 4/20$	$-77/47 \pm 4/11$
$-22/17 \pm 3/67$	$-22/27 \pm 3/17$
$2/78 \pm 1/74$	$2/14 \pm 1/22$
$7/62 \pm 3/75$	$5/18 \pm 1/21$
$1/78 \pm 1/74$	$-7/36 \pm 1/21$
$-1/81 \pm 1/78$	$-8/15 \pm 1/10$
$-27/15 \pm 1/15$	$-27/10 \pm 1/79.69$
$-27/10 \pm 1/238$	$-28/17 \pm 1/23$
$2/17 \pm 1/22$	$2/17 \pm 1/21$
$5/14 \pm 2/10$	$4/11 \pm 2/85$
$-1/77 \pm 1/74$	$-9/20 \pm 1/21$
$1/37 \pm 1/72$	$-2/21 \pm 1/23$

دست آمد (۱) (۷)، ثابت زمانی فعل اشدن جریان کلسیمی در  $-21$  میلیولت،  $1/17 \pm 1/17$  میلی ثانیه و در  $+10$  میلیولت،  $0/15 \pm 0/21$  میلی ثانیه بود، چنانکه در پتانسیلهای مشتمل بر سرعت فعل اشدن جریان کلسیمی بیشتر می‌شد، ثابت زمانی افت جریان کلسیمی در  $-21$  میلیولت،

ثبت زمانی فعل اشدن و غیر فعل اشدن جریان کلسیمی ثبت شده با استفاده از پتانسیلهای فرمانی شبه ذوزنقه‌ای: در حضور  $10$  میلی مولار کلسیم خارج سلولی؛ ثابت زمانی فعل و غیر فعل اشدن جریان کلسیمی در پتانسیلهای نگهدارنده  $-90$  و  $-40$  با استفاده از بیش از یک جزء نمایی (Exponential component) به

می توان نتیجه گرفت که ۳۷ تا ۶۲ درصد جریان کلیمی غشا جسم سلولی نورون F<sub>1</sub> از نوع جریان کلیمی با آستانه بالای نوع سام باشد. مطالعه حاضر نشان داد که جسم سلولی نورون F<sub>1</sub> دارای حداقل دو نوع جریان کلیمی با آستانه بالا (جریان حساس به نیوفدین) یا نوع سام و احتمالاً جریان نوع N است. ویژگیهای الکترو فیزیولوژیکی این جریانها که از طریق پتانسیلهای فرماتی شبه ذوزنقه ای از پتانسیلهای نگهدارنده -۴۰ و -۴۵ میلی ولت (به ویژه -۴۰ میلی ولت) ثبت شده اند با آنچه با استفاده از پتانسیلهای فرماتی راست گوشش ثبت شده اند یکسان نیست چنان که پتانسیل فرماتی شبه ذوزنقه ای و لثائز آستانه جریان کلیمی را مشتبه (۲۲ تا ۴ میلی ولت) و لثائز جریان حداکثر را عنفی تر (۱ تا ۳ میلی ولت) ساخت. به علاوه میزان جریان کلیمی که بوسیله پتانسیلهای فرماتی شبه ذوزنقه ای حاصل می شد ۳۶ درصد ( $P < 0.05$ ) کمتر از آنچه که بوسیله پتانسیلهای فرماتی راست گوشش ثبت می شد بود. به نظر می رسد که با توجه به ثابت زمانی افت جریان کلیمی، مرحله پایین رو نسایی پتانسیلهای فرماتی شبه ذوزنقه ای به تدریج تعداد کانالهای کلیمی که قادر به باز شدن از طریق مرحله بالا و مربوطی بعدی می باشند را کاهش می دهد و در هر مرحله تعداد کانالهایی که در مرحله غیر فعال خود می باشند را افزایش می دهد. بد عبارت دیگر افت آهته پتانسیلهای فرماتی شبه ذوزنقه ای De-inactivation کانالهای کلیمی را تحت تأثیر قرار می دهد. همانطور که اشاره شد از آنجایی که این نتایج در پتانسیل نگهدارنده -۴۰ میلی ولت قابل ملاحظه تر بود بنابراین به نظر می رسد نتایج مشاهده شده بیشتر به عمل تأثیر پتانسیلهای فرماتی شبه ذوزنقه ای بر جریانهای کلیمی HVA از جمله نوع سام باشد. در حضور نیوفدین، پتانسیل فرماتی شبه ذوزنقه ای و لثائز آستانه جریان مقاوم به نیوفدین و لثائز حداکثر جریان را مشتبه کرده (۴ تا ۵ میلی ولت) و لی مقدار جریان ثبت شده از طریق این پتانسیلهای با آنچه که بوسیله پتانسیلهای راست گوشش ثبت می شد تفاوت چندانی نداشت. با توجه به ثابت زمانی افت جریان مقاوم به نیوفدین به نظر می رسد مرحله نمایی پتانسیل فرماتی نیمه ذوزنقه ای این جریان کلیمی را آهته تر غیر فعال ساخته است به همین دلیل با آنکه پتانسیلهای فرماتی شبه ذوزنقه ای جریان کلیمی مقاوم به نیوفدین را با سرعت کمتر فعال ساخته و به حداکثر خود رسانده است ولی میزان جریان به دست آمده از طریق دو نوع پتانسیل فرماتی تقریباً یکان هستند.

تجربه حاضر نشان داد که می توان با استفاده از اشکال متفاوت امواج کلمب کننده و لثائز نه تنها اطلاعات بیشتری از کیتیک کانالهای بونی به دست آورد بلکه بدون استفاده از عوامل شبیه ای و تنها با تعییر برخی از ویژگیهای بیوفیزیکی کانالها می توان بر نحوه عملکرد آنها تأثیر گذاشت و بدین ترتیب می توان کانال خاصی را فعال یا غیر فعال نمود.

## References

- Chen L, El-sherif N, Boutjdir M: Unitary current analysis of L-type Ca<sup>2+</sup> channels in human fetal ventricular myocyte. J Cardiovascular Electrophysiol 1999; 10(4): 692-700

۱۶۴/۴۴±۰/۷۹ میلی ثانیه و در ۲۳ میلی ولت، ۰/۰۱±۱۲/۲۲ میلی ثانیه بود. در حضور نیوفدین ثابت زمانی فعال شدن جریان کلیمی مقاوم به نیوفدین ثبت شده به وسیله پتانسیلهای فرماتی راست گوشش و شبے ذوزنقه ای در -۲۴ میلی ولت به ترتیب ۵۶/۰±۰/۱ و ۶۶/۹۹±۰/۳ میلی ثانیه و در +۴ میلی ولت به ترتیب ۱۵/۰±۰/۵ و ۶۹/۳۱±۰/۲ میلی ثانیه بود. ثابت زمانی افت این جریان در ۵ میلی ولت به ترتیب ۱۴/۲۷±۱/۳۸ و ۷۷/۸۹±۰/۷۶ میلی ثانیه بود. خلاصه نتایج حاصل از کلمب و لثائز به وسیله دو روش تحریکی متداول در جدول ۲ آمده است.

## بحث

در حال حاضر بکی از روشهای متداول جهت فعال ساختن مجزا و متناوب دو گروه از اکسونها در یک آنچه عصبی استفاده از امواج شبه ذوزنقه ای و راست گوشش برای تحریک اکسونهای کوچک و بزرگ می باشد (۲۲، ۲۳، ۲۴، ۲۵)، با وجود استفاده گسترده از امواج نسبه ذوزنقه ای در تحریک انتخابی فیبرهای عصبی، تاکتون مکانیسم تأثیر مستقیم این امواج بر جریانهای بونی غشا مورد بررسی قرار نگرفته است. از آنجایی که جریانهای بونی غیر خطی می باشند و تحت تأثیر ویژگیهای امواج تحریک کننده قرار می گیرند، بنابراین به نظر می رسد تغییر شکل پتانسیلهای فرماتی دیلاتریزه کننده برای کلمب و لثائز بتواند با تأثیر بر کیتبک فعال و با غیر فعال شدن کانالهای بونی غشا موجب تغییر رفتار آنها شده و عملکرد هر یک از آنها را در شرایط مختلف روش سازد. در این مطالعه جریان کلیمی با آستانه بالای نوع سام سلولی نورون F<sub>1</sub> با استفاده از Two electrode voltage clamp و مهارکنندهای کانالهای وابسته به و لثائز پاتاسیمی و کلیمی ثبت شدند و تأثیر دو شکل متفاوت از پتانسیلهای فرماتی بر ویژگیهای الکترو فیزیولوژیکی این جریان بررسی شد.

- مقایسه اثر دو شکل از پتانسیلهای فرماتی بر جریان رو به داخل کلیمی با آستانه بالای نوع سام در جسم سلولی نورون F<sub>1</sub>. نتایج حاصل از کلمب و لثائز به وسیله هر دو شکل از پتانسیلهای فرماتی نشان داد که در جسم سلولی نورون F<sub>1</sub> پس از حذف جریانهای رو به خارج پاتاسیمی و جریان رو به داخل سدیمی، جریان رو به داخل باقیمانده که تقریباً ۴۰ تا ۶۵ درصد کل جریان رو به داخل را به خود اختصاص می دهد متعلق به جریان رو به داخل کلیم است زیرا این جریان تنها در شرایط آشکار می شود که جریانهای رو به خارج پاتاسیمی و جریان رو به داخل سدیمی مهار شود. به علاوه از آنجایی که افروند نیوفدین مهارکننده اختصاصی جریان کلیمی با آستانه بالای نوع سام موجب مهار تقریباً ۳۷ تا ۶۲ درصد جریان کلیمی می گردد

- Fieber LA: Characterization of Na<sup>+</sup> and Ca<sup>2+</sup> currents in bag cells of sexually immature *Aplysia californica*. J Exp Biol 1998; 201: 745-754
- Foehring RC, Armstrong WE: Pharmacological

- dissection of high-voltage-activated  $\text{Ca}^{2+}$  current types in acutely dissociated rat supraoptic magnocellular neurons. *J Neurophysiol* 1996; 76(2): 977-983
4. Gao BX, Ziskind-Conhain L: Development of ionic currents underlying changes in action potential waveforms in rat spinal motoneurons. *J Neurophysiol* 1998; 80(6): 3047-3061
  5. Haydon PG, Man-Son-Hing H: Low- and High-Voltage-Activated calcium currents: Their relationship to the site of neurotransmitter release in an identified neuron of *Helisoma*. *Neuron* 1988; 1: 919-927
  6. Huang SJ, Robinson DW: Activation and inactivation properties of voltage-gated calcium currents in developing cat retinal ganglion cells. *Neuroscience* 1998; 85(1): 239-247
  7. Yarri Y, Hamon B, Lux HD: Development of two types of calcium channels in cultured mammalian hippocampal neurons. *Science* 1987; 235: 680-682
  8. Matteson DR, Armstrong CM: Properties of two types of calcium channels in clonal pituitary cells. *J Gen Physiol* 1986; 87: 161-182
  9. Benham CD, Hess P, Tsien RW: Two types of calcium channels in single muscle cells from rabbit ear artery studied with whole-cell and single-channel recordings. *Cir Res* 1987; 61: 1-10, 1-16
  10. Yu B, Shinnick-Gallagher P: Dihydropyridine and neurotoxin-sensitive and insensitive calcium currents in acutely dissociated neurons of the rat central amygdala. *J Neurophysiol* 1997; 77(2): 690-701
  11. Dunlap K, Luebke JL, Turner TJ: Exocytotic  $\text{Ca}^{2+}$  channels in mammalian central neurons. *Trends in Neuroscience* 1995; 18: 89-98
  12. Kammermeier PJ, Jones SW: High-voltage activated calcium currents in neurons acutely isolated from the ventrobasal nucleus of the rat thalamus. *J Neurophysiol* 1997; 77(1): 465-475
  13. Mintz IM, Adams ME, Bean BP: P-type calcium channels in rat central and peripheral neurons. *Neuron* 1992; 9: 85-95
  ۱۴. بلوچ نژاد مجرد توراندخت، جان احمدی مهیار: بررسی ویژگیهای الکتروفیزیولوژیک و فارماکولوژیک جریانهای کلیپسی و نش آنها در تحریک پذیری سلول F<sub>1</sub> در حلزون باگی (Helix aspersa) با استفاده از روش ثبت داخل سلولی (Current and Voltage - Clamp). ۱۳۷۸: ۱۲۱-۱۲۰.
  15. Raman IM, Bean BP: Ionic currents underlying spontaneous action potentials in isolated cerebellar purkinje neurons. *J Neurosci* 1999; 19(5): 1663-1674
  16. Shuttleworth CW, Smith TK: Action potential-dependent calcium transients in myenteric S neurons of the guinea-pig ileum. *Neuroscience* 1999; 92(2): 751-762
  17. Sundgren-Andersson AK, Johansson S: Calcium spikes and calcium currents in neurons from the medial preoptic nucleus of rat. *Brain Res* 1998; 783: 194-209
  18. Tennigkeit F, Schwarz DW, Puil E: Modulation of bursts and high-threshold calcium spikes in neurons of rat auditory thalamus. *Neuroscience* 1998; 83(4): 1063-1073
  19. Viana F, Bayliss DA, Berger AJ: Calcium conductances and their role in the firing behavior of neonatal rat hypoglossal motoneurons. *J Neurophysiol* 1993; 69: 2137-2149
  20. Zhan XJ, Cox CL, Rinzel J, Sherman SM: Current clamp and modeling studies of low-threshold calcium spikes in cells of the cat's lateral geniculate nucleus. *J Neurophysiol* 1999; 81(5): 2360-2373
  21. Swandulla D, Lux HD: Activation of a nonspecific cation conductance by intracellular  $\text{Ca}^{2+}$  elevation in bursting pacemaker neurons of *Helix pomatia*. *J Neurophysiol* 1985; 54: 1430-1443
  22. Fang ZP, Mortimer JT: Alternate excitation of large and small axons with different stimulation waveform: an application to muscle activation. *Med Biol Eng Comput* 1991a; 29: 543-547
  23. Fang ZP, Mortimer JT: Selective activation of small motor axons by quasitrapezoidal current pulses. *IEEE Trans Biomed Eng* 1991b; 38: 168-174
  24. Gorman PH, Mortimer JT: Effect of stimulus parameters on recruitment with direct nerve stimulation. *IEEE Trans Biomed Eng* 1986; 30: 407-414
  25. Fang ZP, Mortimer JT: A method to effect physiological recruitment order in electrically activated muscle. *IEEE Trans Biomed Eng* 1991c; 35(2): 175-179
  26. Kerkut GA, Lambert JDC, Gayton RJ, Loker JE, Walker RJ: Mapping of nerve cells in the suboesophageal ganglia of *Helix aspersa*. *Comp Biochem Physiol* 1975; 50A: 1-25
  27. Taylor PS: Selectivity and patch measurement of A-current in *Helix aspersa* neurones. *J Physiol* 1987; 388: 437-447

